

# АНИЗОТРОПНОЕ РЕШЕНИЕ АДЛЕРА – ФИНЧА – СКИ В ТЕОРИИ $f(\mathcal{G})$ -ГРАВИТАЦИИ

*M. Sharif<sup>\*</sup>, S. Saba<sup>\*\*</sup>*

*Department of Mathematics, University of Punjab  
54590, Lahore, Pakistan*

Поступила в редакцию 3 июня 2019 г.,  
после переработки 10 июля 2019 г.  
Принята к публикации 17 августа 2019 г.

(Перевод с английского)

**ADLER–FINCH–SKEA ANISOTROPIC SOLUTION IN  $f(\mathcal{G})$  GRAVITY**

**M. Sharif, S. Saba**

С использованием условий вложения, называемых условиями Кармаркара, получено анизотропное решение для сферически-симметричного самогравитирующего звездного объекта в рамках теории  $f(\mathcal{G})$ -гравитации. Для этого использовались масса и радиус трех модельных компактных звезд, а именно, Her X-1, SAX J 1808.4-3658 и 4U 1820-30, а также проводилось гладкое сшивание сферической внутренней и шварцшильдовской внешней геометрии пространства-времени. Для этих звездных моделей исследуются физическая реалистичность и устойчивость предложенного подхода. Оказалось, что построенная анизотропная модель является физически реалистичной и устойчивой, если она удовлетворяет всем необходимым требованиям для компактных звездных объектов.

**DOI:** 10.31857/S0044451020030086

## 1. ВВЕДЕНИЕ

Ключевыми объектами исследований в астрофизике и современной космологии являются как сами звезды, так и их различные физические свойства. Как известно, светящиеся звезды являются гигантскими источниками светового излучения в космосе. После взрыва обычной звезды и ее превращения в сверхновую появляются структуры с высокой плотностью, называемые компактными звездами. При этом возникает значительное направленное наружу давление, которое компенсирует действие направленной внутрь силы гравитации, обусловленной массой звездного объекта. Коллапс звезды наступает, когда эти силы (гравитационная и сила направленного наружу давления) стремятся уравновесить друг друга, что, в свою очередь, ведет к образованию новых компактных объектов, таких как белые карлики, нейтронные звезды, а также черных

дыр. Эти компактные объекты обладают крайне высокой плотностью (большие массы при небольших радиусах), причем они не подвержены влиянию даже высоких температур.

В последнее время исследование компактных звездных объектов вызывает большой интерес у астрофизиков и космологов. Существование отличной от нуля анизотропии сферически-симметричных самогравитирующих объектов позволяет обнаружить важные физические характеристики, которые можно использовать в релятивистских моделях. Анизотропия давления в распределении материи возникает вследствие различных фазовых переходов, существования некой супержидкости, вязкости или конденсации пионов крайне плотных сферических объектов типа черных дыр. В работе [1] путем обобщения уравнения гидростатического равновесия была введена анизотропия релятивистской сферы, а также разнообразные физические свойства анизотропного давления. В работе [2] исследовалась устойчивость анизотропного самогравитирующего объекта при радиальных возмущениях как для ньютона

---

\* E-mail: msharif.math@pu.edu.pk

\*\* E-mail: saadia.saba86@gmail.com

го случая, так и для случая ОТО и было обнаружено, что устойчивость моделей компактных звездных объектов усиливается при наличии анизотропии, а также при уменьшении адиабатического показателя.

В работе [3] исследовалось аналитическое анизотропное решение для кварковой материи с использованием линейного уравнения состояния (УС). Полученное решение было обобщено для конкретного профиля плотности звезды. В работе тех же авторов [4] исследовалось точное анизотропное решение для компактного объекта с использованием анизотропного фактора определенного вида и было получено необходимое реалистичное поведение для рассматриваемых физических объектов. Затем было исследовано точное аналитическое решение для случая заряженных кварковых звезд, когда допускается однопараметрическое семейство конформных движений [5]. В работе [6] исследовалась природа анизотропии для компактных звездных структур с радиальной зависимостью переменной космологической постоянной в пространстве-времени Криори–Баруа.

Для физически непротиворечивого анизотропного решения необходимо наложить некоторые условия на компоненты материи, геометрию пространства-времени или использовать некоторый частный вид УС. Для того чтобы вложить 4D-многообразие (искривленное пространство-время) в плоское (евклидово) пространство-время более высокой размерности, использовались различные способы и модели [7]. Если  $n$ -мерное псевдо-риманово многообразие  $\mathcal{U}_n$  можно вложить в  $(n+m)$ -мерное псевдоевклидово пространство, где  $m$  — минимальное число дополнительных измерений, то говорят, что  $\mathcal{U}_n$  имеет класс вложения  $m$ . Класс вложения внешнего решения Шварцшильда равен 2, а класс вложения внутреннего решения и стандартной модели Фридмана–Робертсона–Уокера (FRW) достигает 1. В плоском пространстве-времени с более высокой размерностью это вложение, имеющее искривленную геометрию, определяет условие, с помощью которого можно получить дополнительную связь между двумя пространственно-временными потенциалами (временным и радиальным), которое называется условием Кармаркара. Используя эту связь, можно найти решение с вложением класса 1 для статического сферически-симметричного пространства-времени. В работе [8] было получено анизотропное решение с вложением класса 1 и проанализированы результаты для нескольких теоретических звездных моделей. В работе [9] исследовались устойчивость

и физические свойства анизотропной компактной звезды с вложением класса 1. Те же авторы в работе [10], используя различные потенциалы, предложили новую звездную модель с вложением класса 1. Кроме того, используя условия Кармаркара для статического сферически-симметричного пространства-времени [11], они получили обобщенные анизотропные модели.

В работе [12] рассматривались анизотропные внутренние решения для звездных объектов, пространственно-временная геометрия которых удовлетворяет условию Кармаркара. В работе [13] было получено решение с вложением класса 1, описывающее внутреннюю область астрофизических объектов. Авторы этой работы также исследовали другую звездную модель, которая описывает геометрическую сингулярность с помощью вложения четырехмерной геометрии искривленного пространства-времени в пятимерную псевдоевклидову геометрию [14]. В работе [15] условие Кармаркара использовалось для нахождения решения с вложением класса 1 для сферически-симметричного пространства-времени. В работе [16] было получено новое решение с вложением класса 1 для сферического компактного звездного распределения в присутствии электромагнитного поля, а также было найдено физически реалистичное решение Адлера–Финча–Ски для компактных звезд.

Использование модифицированных теорий гравитации — один из перспективных способов поиска неизвестных характеристик темной Вселенной, обусловливающих космическое расширение. В работе [17] для эффективного анализа космических фазовых переходов на поздних стадиях было предложено использовать разнообразие космических составляющих, вводя модифицированную гравитацию Гаусса–Бонне (ГБ) (или  $f(\mathcal{G})$ -гравитацию), связанную с ГБ-инвариантом, с некоторыми прецессионными членами и рассматривая производные высших порядков. Используемый второй скаляр Лавлокса (ГБ-инвариант) представляет собой четырехмерный топологический член, который исключает дуловые неустойчивости. В этот инвариант

$$\mathcal{G} = R^2 - 4R_{\alpha\delta}R^{\alpha\delta} + R_{\alpha\delta\mu\nu}R^{\alpha\delta\mu\nu}$$

входят квадратичные слагаемые, а именно квадрат скаляра Риччи  $R$ , а также комбинация тензора Риччи  $R_{\alpha\delta}$  и тензора Римана  $R_{\alpha\delta\mu\nu}$  [18]. В работе [19] были рассмотрены теории  $f(\mathcal{G})$ - и  $f(R, \mathcal{G})$ -гравитации, в которых, используя поправки высших порядков для кривизны, удалось избавиться от некоторых сингулярностей, возникающих в конечном будущем.

В работе [20] представлено краткое введение в разнообразные космологические аспекты различных модифицированных теорий гравитации, а именно,  $f(R)$ - $, f(G)$ - и  $f(R, G)$ -гравитаций, которые рассматривались как гравитационная альтернатива темной энергии. Кроме того, было показано, что этим теориям соответствуют разнообразные космические структуры, т. е. с их помощью можно эффективно описать возможный фазовый переход от замедления к ускорению, а также режимы ускорения и расширения на поздних стадиях. Позднее те же авторы [21] рассмотрели различные представления упомянутых выше модифицированных теорий гравитации и связи между ними и пришли к выводу, что некоторые из вариантов могут предложить разумное и качественное унифицированное описание инфляции в эпоху темной энергии. Возможность Большого Хлопка и возникновения через конечное время в будущем других сингулярностей учитывалась путем включения в приведенные выше теории гравитации гравитационных инвариантов с высшими производными.

В работе [22] исследовалось распределение анизотропной материи в компактной сфере для  $f(\mathcal{G})$ -гравитации, а полученные физические характеристики сравнивались с данными наблюдений. В работе [23] анализировались точные решения для анизотропного статического сферически-симметричного пространства-времени для той же теории гравитации. В работе [24] исследовались особенности компактных звездных объектов и их устойчивость для  $f(R, T)$ -гравитации. В работе [25] были получены точные решения для анизотропного сферического случая для минимальной геометрической деформации, а также проанализированы критерии эффективности и устойчивости для  $f(\mathcal{G})$ -гравитации. В работе [26] предложены модели анизотропных компактных звезд с вложением класса 1 для  $f(R)$ -гравитации.

В настоящей работе рассматривается анизотропное внутреннее решение с вложением класса 1 для статического сферически-симметричного самогравитирующего объекта с использованием условия Кармаркара. Работа построена следующим образом. В разд. 2 обсуждаются полевые уравнения в рамках теории  $f(\mathcal{G})$ -гравитации для распределения анизотропной жидкости и вычисляется соответствующее решение. В разд. 3 исследуется вопрос о том, насколько полученная модель является эффективной и физически реалистичной. Последний раздел посвящен обсуждению полученных результатов.

## 2. АНИЗОТРОПНАЯ ЖИДКОСТЬ И $f(\mathcal{G})$ -ГРАВИТАЦИЯ

В этом разделе мы получим анизотропное внутреннее решение для компактного звездного объекта для случая  $f(G)$ -гравитации, используя определяемые вложением условия. В этом случае действие определяется как [17]

$$S = \int d^4x \sqrt{-g} \left( \frac{R + f(G)}{2\kappa^2} + \mathcal{L}_m \right), \quad (1)$$

где  $\kappa^2 = 8\pi$  (мы используем гравитационные единицы) — постоянная взаимодействия, а  $\mathcal{L}_m$  — плотность лагранжиана материи. Соответствующие полевые уравнения имеют вид

$$G_{\alpha\delta} = \kappa^2 T_{\alpha\delta}^{(eff)} = \kappa^2 \left( T_{\alpha\delta}^{(m)} + T_{\alpha\delta}^{(\mathcal{G})} \right). \quad (2)$$

Анизотропной материи соответствует член

$$T_{\alpha\delta}^{(m)} = (\rho + P_t)\mathcal{U}_\alpha\mathcal{U}_\delta + P_t g_{\alpha\delta} + (P_r - P_t)\xi_\alpha\xi_\delta, \quad (3)$$

где  $\rho$  — плотность,  $P_r$  и  $P_t$  — радиальное и тангенциальное давление, соответственно,  $\mathcal{U}_\alpha$  — 4-скорость, а  $\xi_\alpha$  — пространственно-подобный 4-вектор. Темному источнику (поправочный член, обусловленный  $f(G)$ -гравитацией) соответствует член

$$\begin{aligned} T_{\alpha\delta}^{(\mathcal{G})} = & \frac{1}{2\kappa} g_{\alpha\delta} f(\mathcal{G}) + \frac{1}{\kappa} \left[ (4R_{\delta\sigma}R_\alpha^\sigma - 2RR_{\alpha\delta} - \right. \\ & - 2R_{\alpha\sigma\eta\nu}R_\delta^{\sigma\eta\nu} - 4R_{\alpha\sigma\eta\delta}R^{\sigma\eta})f_{\mathcal{G}}(\mathcal{G}) + \\ & + (4R_{\alpha\delta} - 2Rg_{\alpha\delta})\nabla^2 f_{\mathcal{G}}(\mathcal{G}) + 2R\nabla_\alpha\nabla_\delta f_{\mathcal{G}}(\mathcal{G}) - \\ & - 4R_\alpha^\sigma\nabla_\delta\nabla_\sigma f_{\mathcal{G}}(\mathcal{G}) - 4R_\delta^\sigma\nabla_\alpha\nabla_\sigma f_{\mathcal{G}}(\mathcal{G}) + \\ & \left. + 4g_{\alpha\delta}R^{\sigma\eta}\nabla_\sigma\nabla_\eta f_{\mathcal{G}}(\mathcal{G}) - 4R_{\alpha\sigma\delta\eta}\nabla^\sigma\nabla^\eta f_{\mathcal{G}}(\mathcal{G}) \right], \end{aligned} \quad (4)$$

где  $f_{\mathcal{G}}(\mathcal{G})$  — обыкновенная производная функции общего положения по  $\mathcal{G}$ , а  $\nabla_\alpha$  — ковариантная производная, входящая в оператор Даламбера ( $\nabla^2 = \nabla_\alpha\nabla^\alpha$ ).

Чтобы описать внутреннюю геометрию статической сферически-симметричной суперплотной звезды, удобно взять линейный элемент в каноническом виде:

$$ds^2 = -e^{\eta(r)}dt^2 + e^{\beta(r)}dr^2 + r^2(d\theta^2 + \sin^2\theta d\phi^2). \quad (5)$$

Соответствующие полевые уравнения имеют вид

$$8\pi \left( \rho - T_0^{0(\mathcal{G})} \right) = \frac{1}{r^2} + \left( \frac{\beta'}{r} - \frac{1}{r^2} \right) e^{-\beta(r)}, \quad (6)$$

$$8\pi \left( P_r + T_1^{1(\mathcal{G})} \right) = -\frac{1}{r^2} + \left( \frac{\eta'}{r} + \frac{1}{r^2} \right) e^{-\beta(r)}, \quad (7)$$

$$8\pi \left( P_t + T_2^{2(\mathcal{G})} \right) = \\ = \left( \frac{\eta'}{2r} + \frac{\eta''}{2} + \frac{\eta'^2}{4} - \frac{\eta'\beta'}{4} - \frac{\beta'}{2r} \right) e^{-\beta(r)}, \quad (8)$$

выражения для  $T_0^{0(\mathcal{G})}$ ,  $T_1^{1(\mathcal{G})}$  и  $T_2^{2(\mathcal{G})}$  приведены в Приложении. ГБ-инвариант для (5) можно выразить как

$$\mathcal{G} = \frac{2e^{-2\beta}}{r^2} \left[ (\eta'^2 + 2\eta'') (1 - e^\beta) - \eta'\beta' (3 - e^\beta) \right]. \quad (9)$$

Условие Кармакара в терминах кривизны Римана имеет вид

$$R_{0303}R_{1212} = R_{0101}R_{2323} + R_{0113}R_{0223}, \quad (10)$$

откуда следует, что  $R_{1212} \neq 0$  [27]. Действительно, этим определяется пространство-время с вложением класса 1. Из уравнений (5) и (10) следует дифференциальное уравнение

$$\frac{\eta'\beta'}{1 - e^\beta} = -2(\eta'' + \eta'^2) + \eta'^2 + \eta'\beta', \quad e^\beta \neq 1. \quad (11)$$

Интегрирование дает

$$e^\beta = 1 + \mathcal{F}\eta'^2 e^\eta, \quad (12)$$

где  $\mathcal{F} \neq 0$  — постоянная интегрирования.

Как можно видеть, система уравнений (6)–(8) со связью (11) содержит пять неизвестных ( $\eta$ ,  $\beta$ ,  $\rho$ ,  $P_r$  и  $P_t$ ). Чтобы система была самосогласованной, используем анзац Адлера для временного метрического коэффициента [28]:

$$e^\eta = \mathcal{A}(1 + \mathcal{C}r^2)^2, \quad (13)$$

где  $\mathcal{A}$  и  $\mathcal{C}$  — произвольные постоянные. Подставляя это в выражение (11), получаем

$$e^\beta = 1 + 16\mathcal{AC}^2\mathcal{F}r^2, \quad (14)$$

что аналогично решению Финча – Ски [29]. Используя радиальный и временной метрические потенциалы из уравнений (13) и (14), систему (6)–(8) можно привести к виду

$$\rho = \frac{16\mathcal{AC}^2\mathcal{F}(16\mathcal{AC}^2\mathcal{F}r^2 + 3)}{8\pi(1 + 16\mathcal{AC}^2\mathcal{F}r^2)^2} + T_0^{0(\mathcal{G})}, \quad (15)$$

$$P_r = \frac{-4C(4\mathcal{AC}^2\mathcal{F}r^2 + 4\mathcal{AC}\mathcal{F} - 1)}{8\pi(\mathcal{C}r^2 + 1)(16\mathcal{AC}^2\mathcal{F}r^2 + 1)} - T_1^{1(\mathcal{G})}, \quad (16)$$

$$P_t = \frac{4C(4\mathcal{AC}^2\mathcal{F}r^2 - 4\mathcal{AC}\mathcal{F} + 1)}{8\pi(\mathcal{C}r^2 + 1)(16\mathcal{AC}^2\mathcal{F}r^2 + 1)^2} - T_2^{2(\mathcal{G})}, \quad (17)$$

при этом параметр  $\Delta$ , определяющий анизотропию давления, принимает вид

$$\Delta = \frac{1}{8\pi(1 + \mathcal{C}r^2)(1 + 16\mathcal{AC}^2\mathcal{F}r^2)^2} \times \\ \times \left[ 32\mathcal{AC}^2\mathcal{F}r^2 (8\mathcal{AC}^2\mathcal{F}(1 + \mathcal{C}r^2) - 1) + \right. \\ \left. + \kappa(1 + \mathcal{C}r^2) (32\mathcal{AC}^2\mathcal{F}r^2(1 + 8\mathcal{AC}^2\mathcal{F}r^2) + 1) \times \right. \\ \left. \times (T_1^{1(\mathcal{G})} - T_2^{2(\mathcal{G})}) \right]. \quad (18)$$

Физические характеристики звезды можно получить, гладко спlicing решения для внутренней и внешней геометрии пространства-времени. Будем считать, что шварцшильдовская метрика для внешней геометрии имеет вид

$$ds^2 = - \left( 1 - \frac{2m}{r} \right) dt^2 + \left( 1 - \frac{2m}{r} \right)^{-1} dr^2 + \\ + r^2 (d\theta^2 + \sin^2 \theta d\phi^2). \quad (19)$$

Непрерывность метрических коэффициентов,

$$g_{00}^+ = g_{00}^-, \quad g_{11}^+ = g_{11}^-, \quad g_{00,1}^+ = g_{00,1}^-,$$

над гиперповерхностью ( $r = R$ ) дает

$$1 - \frac{2m}{R} = \mathcal{A}(1 + \mathcal{C}R^2)^2, \quad (20)$$

$$\left( 1 - \frac{2m}{R} \right)^{-1} = 1 + 16\mathcal{AC}^2\mathcal{F}R^2, \quad (21)$$

$$\frac{2m}{R^2} = 4\mathcal{AC}R(1 + \mathcal{C}R^2). \quad (22)$$

Используя уравнения (20)–(22), можно выразить постоянные  $\mathcal{A}$  и  $\mathcal{F}$  через  $\mathcal{C}$ :

$$\mathcal{A} = \frac{m}{2\mathcal{C}R^3(1 + \mathcal{C}R^2)}, \quad (23)$$

$$\mathcal{F} = \frac{R(1 + \mathcal{C}R^2)}{4\mathcal{C}(R - 2m)}, \quad (24)$$

где  $\mathcal{C}$ ,  $m$  и  $R$  — произвольные постоянные.

### 3. ФИЗИЧЕСКИЕ СВОЙСТВА КОМПАКТНЫХ ЗВЕЗД

В данном разделе мы рассмотрим некоторые интересные результаты, полученные для решений с вложением класса 1, которые доказывают их физическую реалистичность. Для этого рассмотрим такие важные физические параметры, как эволюция физических переменных (плотность энергии и давление), условие максимальности, энергетические границы, параметр компактности, а также устойчивость предложенной модели. Чтобы графически исследовать поведение всех этих параметров, предположим, что функция  $f(\mathcal{G})$  в общем случае имеет вид

$$f(\mathcal{G}) = \alpha\mathcal{G}^n,$$

**Таблица.** Физические приближенные значения массы, радиуса и параметра компактности модельных компактных звезд Her X-1, SAX J 1808.4-3658 и 4U 1820-30

Модельная звезда	Масса, $M_{\odot}$	Радиус, км	$\mu$
Her X-1	0.88	7.7	0.168
SAX J1808.4-3658	1.435	7.07	0.299
4U1820-30	2.25	10.0	0.332

где  $\alpha$  — произвольная постоянная, а  $n > 0$  при  $n \neq 1$  [23]. В настоящей работе мы рассматриваем распределение анизотропной жидкости в астрофизических объектах для определенного значения параметра модели  $n = 2$ . Анизотропные сферические решения анализируются для трех странных звездных объектов. Их радиусы и массы приведены в таблице. Для графического анализа зафиксируем свободный параметр  $C = 0.02$  для определенной области изменения параметра  $\alpha$ :

$$-1 < \alpha < 0.$$

### 3.1. Критерий максимальности

Поскольку астрофизические объекты представляют собой сферические структуры с высокой плотностью, физические переменные для них должны принимать максимальные значения, при этом внутри сферического объекта они положительны, а по направлению к его поверхности — монотонно убывают. На рис. 1 показаны зависимости физических параметров  $\rho$ ,  $P_r$ ,  $P_t$  и  $\Delta$  от радиуса  $r$  и параметра  $\alpha$  для модельных звезд Her X-1, SAX J 1808.4-3658 и 4U 1820-30. Эффективная плотность энергии максимальна внутри компактного звездного объекта и монотонно убывает в направлении к его поверхности. На рисунке видно, что  $\rho$  не изменяется при любых значениях  $\alpha$ . Аналогично, радиальное и тангенциальное давление принимают максимальные значения в центре и монотонно убывают, когда  $r$  стремится к границе звездного объекта. Радиальное давление обращается в нуль на поверхности звезды, в то время как плотность и тангенциальное давление там положительны. С другой стороны, оба давления убывают при возрастании  $\alpha$ . Параметр анизотропии давления  $\Delta = P_t - P_r$ , в основном, определяет поведение анизотропного распределения материи. Направление анизотропии зависит от того, какое давление больше. Если  $P_t < P_r$ , то анизотропия отрица-

тельна, т. е. направлена внутрь, а если наоборот — то наружу. В нашем случае, как видно на рисунке, для трех рассматриваемых странных звезд анизотропия направлена наружу.

Условия максимальности в центре компактного объекта ( $r = 0$ ) можно записать в виде

$$\begin{aligned} \frac{d\rho}{dr} &= 0, & \frac{dP_r}{dr} &= 0, & \frac{dP_t}{dr} &= 0, \\ \frac{d^2\rho}{dr^2} &< 0, & \frac{d^2P_r}{dr^2} &< 0, & \frac{d^2P_t}{dr^2} &< 0. \end{aligned}$$

Тогда градиенты эффективной плотности и давления будут иметь вид

$$\frac{d\rho}{dr} = \frac{-64\mathcal{A}^2\mathcal{C}^4\mathcal{F}^2r(16\mathcal{A}\mathcal{C}^2\mathcal{F}r^2 + 5)}{\pi(1 + 16\mathcal{A}\mathcal{C}^2\mathcal{F}r^2)^3} + \frac{dT_0^{0(\mathcal{G})}}{dr}, \quad (25)$$

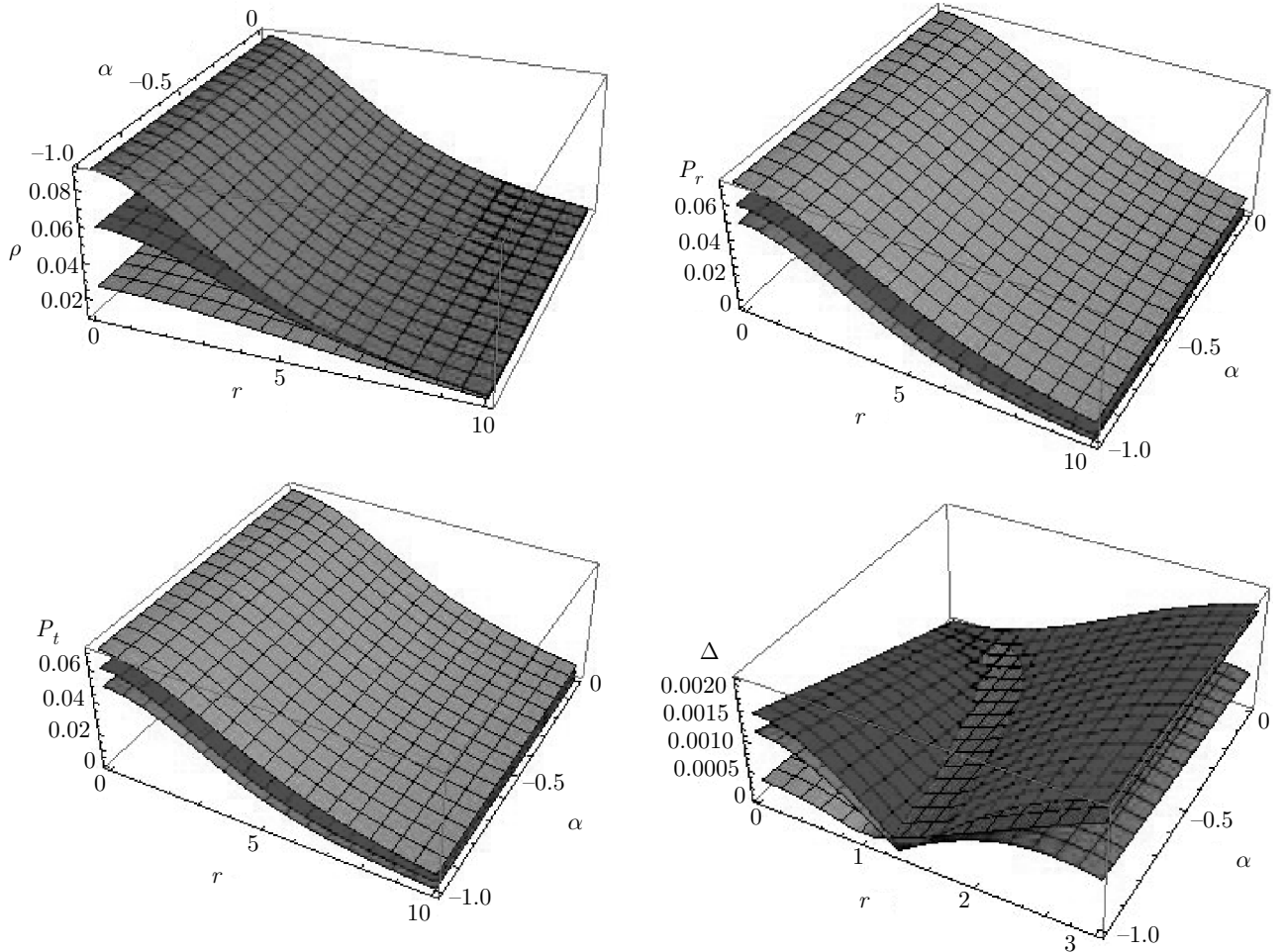
$$\begin{aligned} \frac{dP_r}{dr} &= \frac{\mathcal{C}r^2}{\pi(1 + \mathcal{C}r^2)^2(1 + 16\mathcal{A}\mathcal{C}^2\mathcal{F}r^2)^2} \times \\ &\times \left[ 16\mathcal{A}\mathcal{C}\mathcal{F}(4\mathcal{A}\mathcal{C}\mathcal{F}(1 + \mathcal{C}r^2)^2 - (1 + \mathcal{C}r^2)) - 1 \right] - \\ &- \frac{dT_1^{1(\mathcal{G})}}{dr}, \quad (26) \end{aligned}$$

$$\begin{aligned} \frac{dP_t}{dr} &= \frac{\mathcal{C}^2r}{\pi(1 + \mathcal{C}r^2)^2(1 + 16\mathcal{A}\mathcal{C}^2\mathcal{F}r^2)^3} \times \\ &\times \left[ 128\mathcal{A}^2\mathcal{C}^2\mathcal{F}^2(\mathcal{C}^2r^4 - \mathcal{C}r^2 - 1) + 48\mathcal{A}\mathcal{C}^2\mathcal{F}r^2 + \right. \\ &\left. + 24\mathcal{A}\mathcal{C}\mathcal{F} + 1 \right] - \frac{dT_2^{2(\mathcal{G})}}{dr}. \quad (27) \end{aligned}$$

Более того, вторые производные  $\rho$ ,  $P_r$  и  $P_t$  примут следующий вид:

$$\begin{aligned} \frac{d^2\rho}{dr^2} &= \frac{64\mathcal{F}^2\mathcal{C}^4\mathcal{A}^2(768\mathcal{A}^2\mathcal{C}^4\mathcal{F}^2r^4 + 352\mathcal{A}\mathcal{C}^2\mathcal{F}r^2 - 5)}{\pi(16\mathcal{A}\mathcal{C}^2\mathcal{F}r^2 + 1)^4} + \\ &+ \frac{d^2T_0^{0(\mathcal{G})}}{dr^2}, \quad (28) \end{aligned}$$

$$\begin{aligned} \frac{d^2P_r}{dr^2} &= -\frac{\mathcal{C}^2}{\pi(\mathcal{C}r^2 + 1)^3(16\mathcal{A}\mathcal{C}^2\mathcal{F}r^2 + 1)^3} \times \\ &\times \left[ 3072\mathcal{A}^3\mathcal{C}^4\mathcal{F}^3r^2(\mathcal{C}^3r^6 + 1) + 9216\mathcal{A}^3\mathcal{C}^5\mathcal{F}^3r^4(\mathcal{C}r^2 + 1) - \right. \\ &- 64\mathcal{A}^2\mathcal{C}^4\mathcal{F}^2r^4(\mathcal{C}r^2 + 1) - 64\mathcal{A}^2\mathcal{C}^2\mathcal{F}^2(15\mathcal{C}r^2 + 1) - \\ &\left. - 16\mathcal{A}\mathcal{C}\mathcal{F}(9\mathcal{C}^2r^4 - 1) - 3\mathcal{C}r^2 + 1 \right] - \frac{d^2T_1^{1(\mathcal{G})}}{dr^2}, \quad (29) \end{aligned}$$



**Рис. 1.** (В цвете онлайн) Зависимости  $\rho$ ,  $P_r$ ,  $P_t$  и  $\Delta$  от радиуса  $r$  и параметра  $\alpha$  для модельных звезд Her X-1 (оранжевый), SAX J 1808.4-3658 (красный) и 4U 1820-30 (синий)

$$\begin{aligned} \frac{d^2 P_t}{dr^2} = & -\frac{\mathcal{C}^2}{\pi(\mathcal{C}r^2 + 1)^3(16\mathcal{A}\mathcal{C}^2\mathcal{F}r^2 + 1)^4} \times \\ & \times \left[ 10240\mathcal{A}^3\mathcal{C}^4\mathcal{F}^3r^2(\mathcal{C}^3r^6 - 1) - \right. \\ & - 12288\mathcal{A}^3\mathcal{C}^5\mathcal{F}^3r^4(\mathcal{C}r^2 + 2) + 128\mathcal{A}^2\mathcal{C}^4\mathcal{F}^2r^4 \times \\ & \times (41\mathcal{C}r^2 + 39) + 128\mathcal{A}^2\mathcal{C}^2\mathcal{F}^2(15\mathcal{C}r^2 + 1) + \\ & \left. + 24\mathcal{A}\mathcal{C}\mathcal{F}(8\mathcal{C}r^2(\mathcal{C}r^2 + 1) - 1) + 3\mathcal{C}r^2 - 1 \right]. \end{aligned}$$

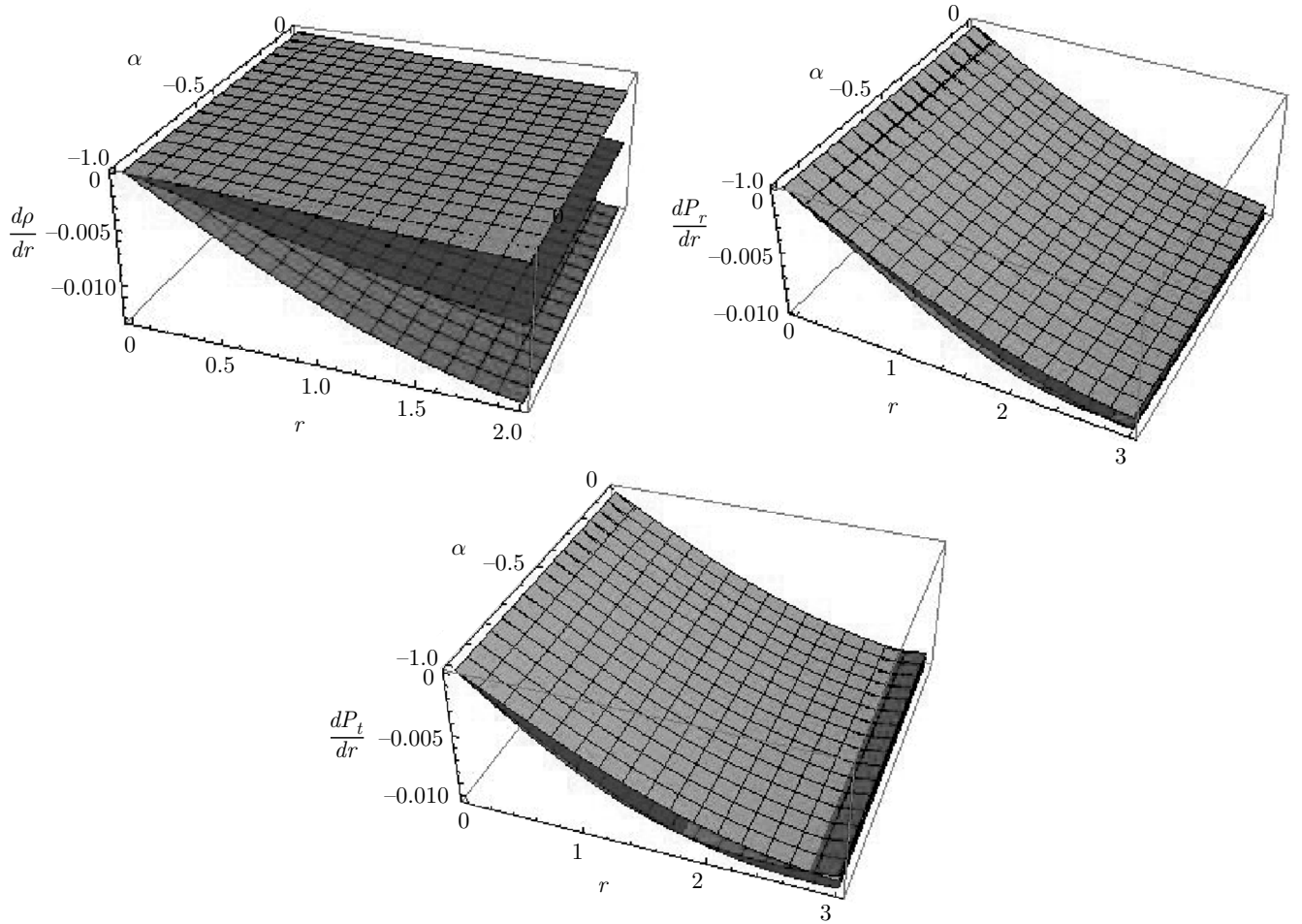
Зависимости градиентов эффективной плотности, а также радиального и тангенциального давления для трех компактных звезд приведены на рис. 2. На рисунках видно, что для всех трех звезд градиенты плотности и давления монотонно убывают и равны нулю в центре компактного сферического объекта. Более того, оказалось, что для всех трех звезд вторые производные этих величин указывают на наличие максимума в центре, т. е. при  $r = 0$ , поскольку

$$\frac{d^2 \rho}{dr^2} < 0, \quad \frac{d^2 P_r}{dr^2} < 0, \quad \frac{d^2 P_t}{dr^2} < 0 \quad (\text{см. рис. 3}).$$

### 3.2. Энергетические условия

Рассмотренные выше связи имеют важное значение для анализа эффективности моделей компактных звездных объектов, а также характера их особенностей. Для реалистичной звезды необходимо выполнение энергетических условий, а именно, нулевого (NEC), доминантного (DEC), слабого (WEC) и сильного (SEC) энергетических условий. Для анизотропной материи эти условия имеют следующий вид:

- NEC:  $\rho + P_r \geq 0, \quad \rho + P_t \geq 0,$
- DEC:  $\rho - P_r \geq 0, \quad \rho - P_t \geq 0,$
- WEC:  $\rho \geq 0, \quad \rho + P_r \geq 0, \quad \rho + P_t \geq 0,$



**Рис. 2.** (В цвете онлайн) Зависимости  $d\rho/dr$ ,  $dP_r/dr$  и  $dP_t/dr$  от радиуса  $r$  и параметра  $\alpha$  для модельных звезд Her X-1 (оранжевый), SAX J 1808.4-3658 (красный) и 4U 1820-30 (синий)

- SEC:  $\rho + P_r \geq 0$ ,  $\rho + P_t \geq 0$ ,  $\rho + P_r + 2P_t \geq 0$ .

Если эти условия не выполняются, то материя является экзотической, а в противном случае — обычновенной. На рис. 4 приведены зависимости энергетических условий для трех компактных модельных звезд Her X-1, SAX J 1808.4-3658 и 4U 1820-30. На рисунке видно, что все энергетические условия выполняются, что четко подтверждает наличие обычновенной материи внутри звезд.

### 3.3. Параметр компактности

Компактность внутренней области звезды в терминах радиуса определяется как

$$\mu(r) = \frac{m(r)}{r} = \frac{1}{r} \int 4\pi \rho \hat{r}^2 d\hat{r}, \quad (30)$$

где

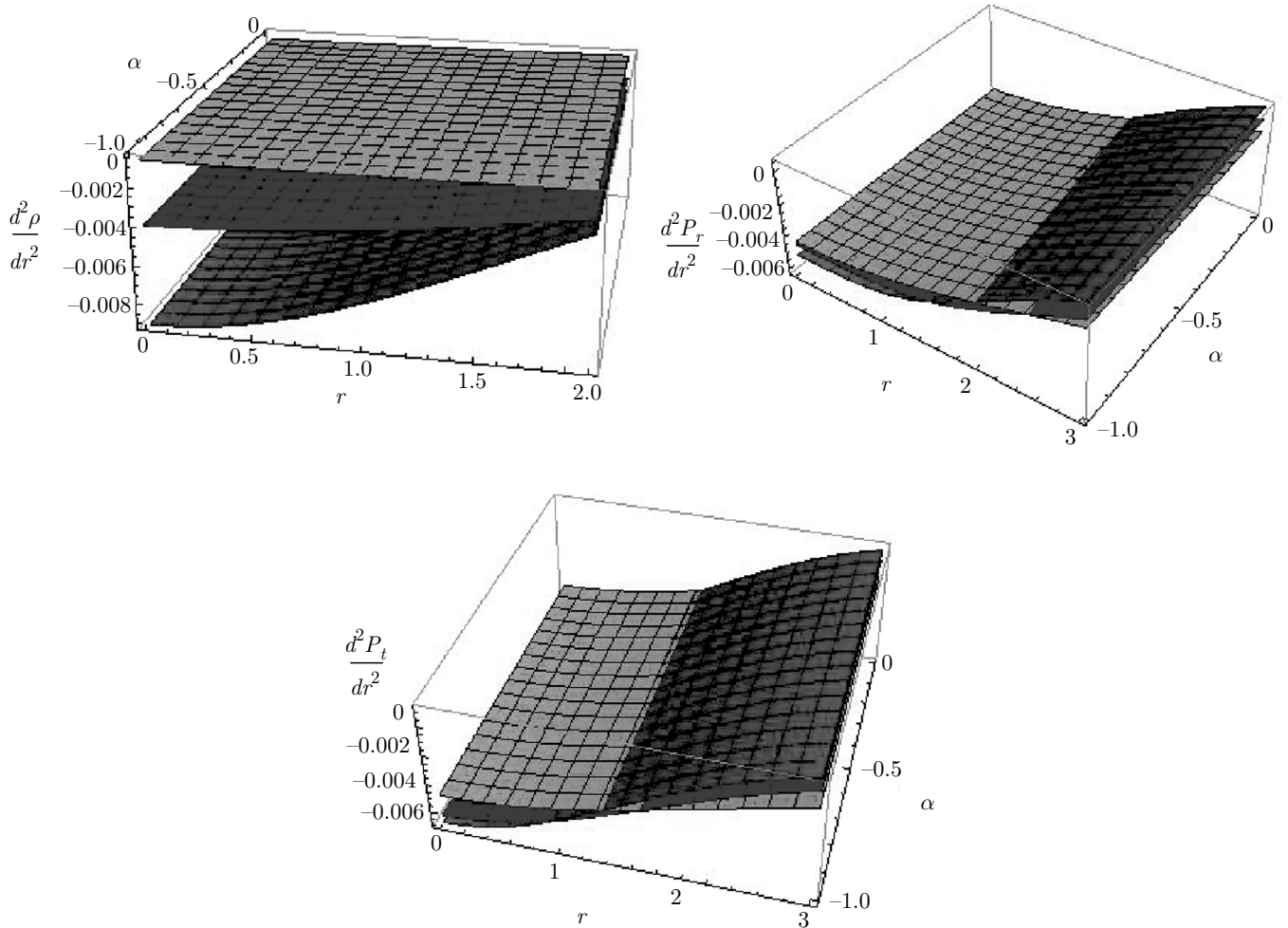
$$m(r) = \int 4\pi \rho \hat{r}^2 d\hat{r}$$

— масса звезды. Заметим, что при исследовании нейтронных звезд в рамках теории  $f(\mathcal{G})$ -гравитации отношение масса–радиус является самосогласованным [29]. Подставляя уравнение (15) в выражение (30), получим

$$\begin{aligned} \mu(r) = \frac{m(r)}{r} = & \frac{r}{2} \frac{16\mathcal{A}\mathcal{C}^2\mathcal{F}r^2}{1 + 16\mathcal{A}\mathcal{C}^2\mathcal{F}r^2} + \\ & + \int 4\pi \hat{r}^2 T_0^{0(\mathcal{G})} d\hat{r}. \end{aligned} \quad (31)$$

Параметр красного смещения получается подстановкой этого значения в соотношение

$$Z_s = (1 - 2\mu(r))^{1/2} - 1. \quad (32)$$



**Рис. 3.** (В цвете онлайн) Зависимости  $d^2\rho/dr^2$ ,  $d^2P_r/dr^2$  и  $d^2P_t/dr^2$  от радиуса  $r$  и параметра  $\alpha$  для модельных звезд Her X-1 (оранжевый), SAX J 1808.4-3658 (красный) и 4U 1820-30 (синий)

На рис. 5 видно, что как масса, так и компактность звезд являются возрастающими регулярными функциями радиуса  $r$ . Более того, наша астрофизическая система (анизотропное решение) удовлетворяет требуемому пределу компактности Бучдала

$$m/r \leq 4/9$$

для всех трех звездных объектов. Параметр красного смещения также удовлетворяет требуемому условию  $Z_s \leq 5.211$  для случая анизотропной жидкости (см. рис. 5).

### 3.4. Устойчивость звездных объектов и равновесие сил

В данном разделе мы рассмотрим устойчивость нашей модели для трех модельных звезд, используя

условие причинности, адиабатический показатель, а также равновесие сил.

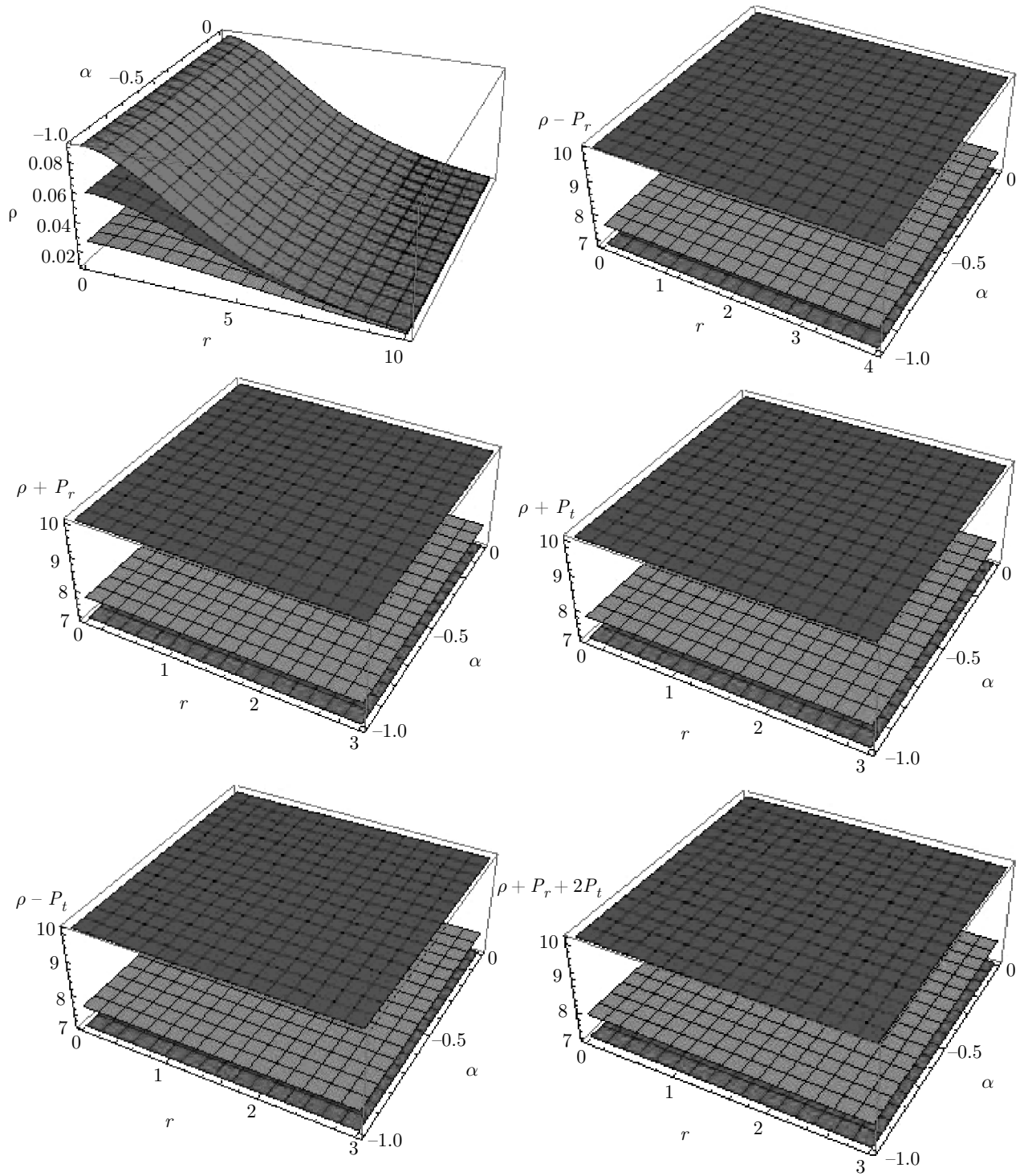
#### 3.4.1. Равновесие с точки зрения уравнения ТОВ

Равновесие компактной звезды достигается, если различные силы, действующие на звезду, удовлетворяют обобщенному уравнению Толмана–Оппенгеймера–Волкова (ТОВ). Для распределения анизотропной жидкости уравнение ТОВ принимает вид

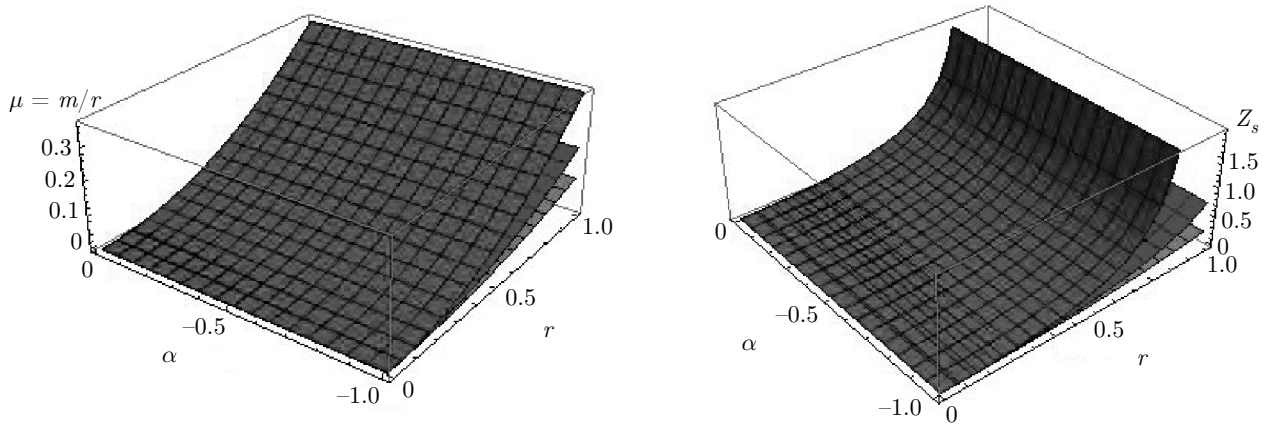
$$\frac{dP_r}{dr} + \frac{\mathcal{M}_g(r)(\rho + P_r)}{r} e^{\frac{n-\beta}{2}} - \frac{2}{r}(P_t - P_r) = 0, \quad (33)$$

где

$$\mathcal{M}_g(r) = \frac{r\eta'}{2} e^{\frac{\beta-n}{2}}$$



**Рис. 4.** (В цвете онлайн) Зависимости энергетических условий от радиуса  $r$  и параметра  $\alpha$  для трех модельных звезд Her X-1 (оранжевый), SAX J 1808.4-3658 (красный) и 4U 1820-30 (синий)



**Рис. 5.** (В цвете онлайн) Зависимости компактности  $\mu$  и параметра красного смещения  $Z_s$  от радиуса  $r$  и параметра  $\alpha$  для трех модельных звезд Her X-1 (оранжевый), SAX J 1808.4-3658 (красный) и 4U 1820-30 (синий)

— гравитационная масса внутренней области звезды. С учетом гравитационной массы, уравнение можно записать в виде

$$\frac{dP_r}{dr} + \frac{\eta'}{2}(\rho + P_r) - \frac{2}{r}(P_t - P_r) = 0. \quad (34)$$

Каждый член этого выражения соответствует силе, а именно, гравитационной силе  $F_g$ , силе гидростатического равновесия  $F_{he}$  и силе анизотропии  $F_\Delta$ , так что

$$F_g + F_{he} + F_\Delta = 0.$$

В модифицированной теории гравитации Гаусса–Бонне эти силы принимают вид

$$F_{he} = \frac{dP_r}{dr} = \frac{\mathcal{C}r^2}{\pi(1+\mathcal{C}r^2)^2(1+16\mathcal{A}\mathcal{C}^2\mathcal{F}r^2)^2} \times \\ \times \left[ 16\mathcal{A}\mathcal{F}(4\mathcal{A}\mathcal{C}\mathcal{F}(1+\mathcal{C}r^2)^2 - (1+\mathcal{C}r^2)) - 1 \right] - \frac{dT_1^{1(\mathcal{G})}}{dr},$$

$$F_g = \frac{\eta'}{2}(\rho + P_r) = \frac{\mathcal{C}^2r(24\mathcal{A}\mathcal{C}^2\mathcal{F}r^2 + 8\mathcal{A}\mathcal{C}\mathcal{F} + 1)}{(Cr^2 + 1)^2(16\mathcal{A}\mathcal{C}^2\mathcal{F}r^2 + 1)^2} + \\ + T_0^{0(\mathcal{G})} - T_1^{1(\mathcal{G})},$$

$$F_\Delta = -\frac{2}{r}(P_t - P_r) = \\ = -\frac{64\mathcal{C}^3\mathcal{A}\mathcal{F}r(8\mathcal{A}\mathcal{C}^2\mathcal{F}r^2 + 8\mathcal{A}\mathcal{C}\mathcal{F} - 1)}{(Cr^2 + 1)(16\mathcal{A}\mathcal{C}^2\mathcal{F}r^2 + 1)^2} - T_1^{1(\mathcal{G})} + T_2^{2(\mathcal{G})}.$$

На рис. 6 приведены зависимости трех сил, поддерживающих компактные звезды в равновесии, для модельных звезд Her X-1 (a), SAX J 1808.4-3658

(б) и 4U 1820-30 (в). На рисунке видно, что гравитационная сила преобладает над двумя другими (гидростатической и анизотропной) и компенсирует их действие. Более того, эти силы стремятся к нулю (окончательное равновесие), когда радиус  $r > 15$ . Таким образом, для этих модельных звезд система находится в состоянии равновесия.

### 3.4.2. Условие причинности

В соответствии с условием причинности квадрат скорости звука (для радиальной и тангенциальной составляющих) должен быть меньше скорости света. В релятивистских величинах это условие выглядит как

$$0 < \nu_{sr}^2 < 1, \quad 0 < \nu_{st}^2 < 1.$$

Соответствующее математическое выражение имеет вид

$$\nu_{sr}^2 = \frac{dP_r}{d\rho}, \quad \nu_{st}^2 = \frac{dP_t}{dr}.$$

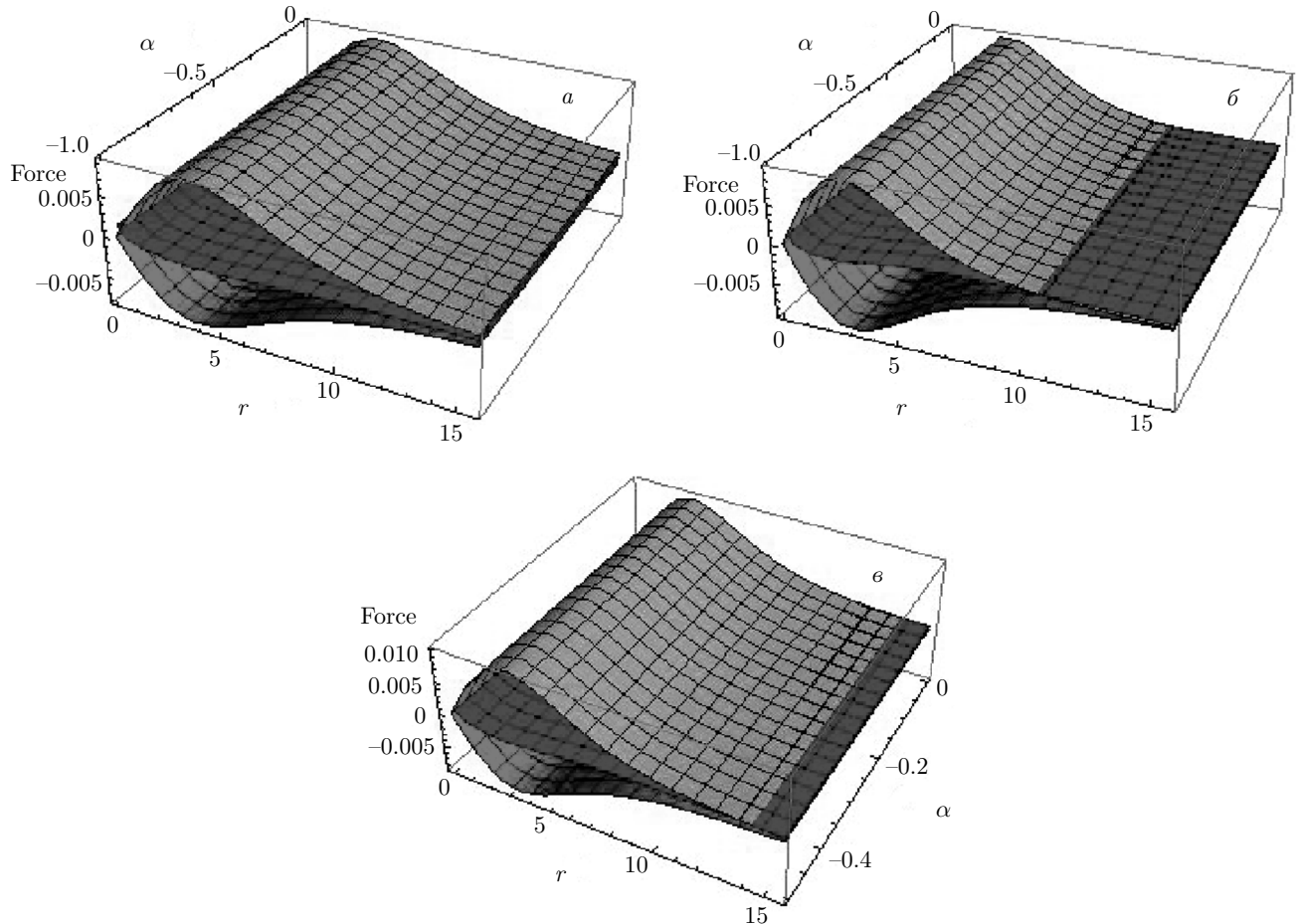
Согласно концепции расщепления и опрокидывания, предложенной в работах [31] и [32], для распределения анизотропной жидкости должно выполняться условие

$$0 < |\nu_{st}^2 - \nu_{sr}^2| < 1.$$

На рис. 7 видно, что анизотропная система удовлетворяет требуемому условию для трех рассматриваемых модельных звезд.

### 3.4.3. Условие, связанное с адиабатическим показателем

Адиабатический показатель  $\Gamma$  играет важную роль при изучении звездных объектов (как реля-



**Рис. 6.** (В цвете онлайн) Зависимости сил равновесия от радиуса  $r$  и параметра  $\alpha$  для модельных звезд Her X-1 (a), SAX J 1808.4-3658 (б) и 4U 1820-30 (в); красный — гравитационная сила  $F_g$ , синий — анизотропная сила  $F_\Delta$ , оранжевый — сила гидростатического равновесия  $F_{he}$

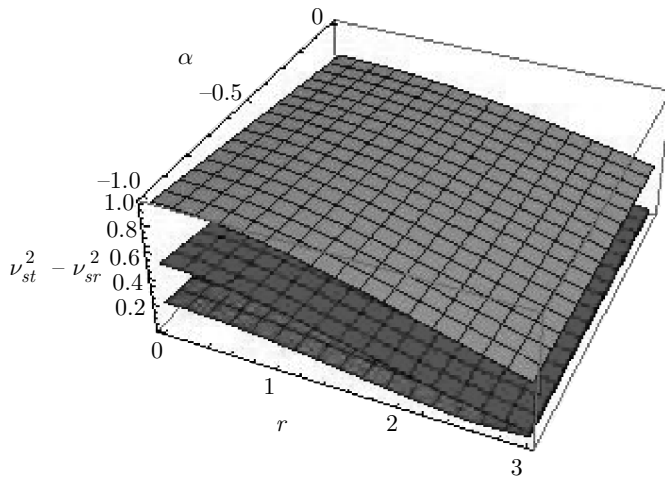
тивистских, так и нерелятивистских). Для распределения анизотропной жидкости радиальная и тангенциальная составляющие  $\Gamma$  вычисляются как отношение двух удельных теплоемкостей [32]:

$$\Gamma_r = \frac{\rho + P_r}{P_r} \left( \frac{dP_r}{d\rho} \right), \quad \Gamma_t = \frac{\rho + P_t}{P_t} \left( \frac{dP_t}{d\rho} \right).$$

Для устойчивой конфигурации величина этого показателя должна быть больше  $4/3$ . Зависимости адиабатических показателей приведены на рис. 8. На рисунке видно, что анизотропное распределение для трех рассматриваемых модельных звезд является динамически устойчивым (для всей области значений  $\alpha$ ).

#### 4. ЗАКЛЮЧЕНИЕ

В настоящей работе рассматривается вложение класса 1 для компактных звездных объектов в рамках теории гравитации  $f(\mathcal{G}) = \alpha\mathcal{G}^n$  (мы полагаем  $n = 2$ ) с анизотропной жидкостью для трех модельных звезд. Используя условие Кармара-кара, мы получаем важную связь между двумя потенциалами для рассматриваемой геометрической конфигурации. Искривленное четырехмерное пространство-время вкладывается в псевдо-евклидово пространство-время высшей размерности. Использование временного метрического коэффициента Адлера приводит к решению Адлера–Финча–Ски. Наложение связей на произвольный параметр модели проводилось путем гладкого спиваания сферической внутренней и шварцшильдовской внешней геометрии пространства-времени.



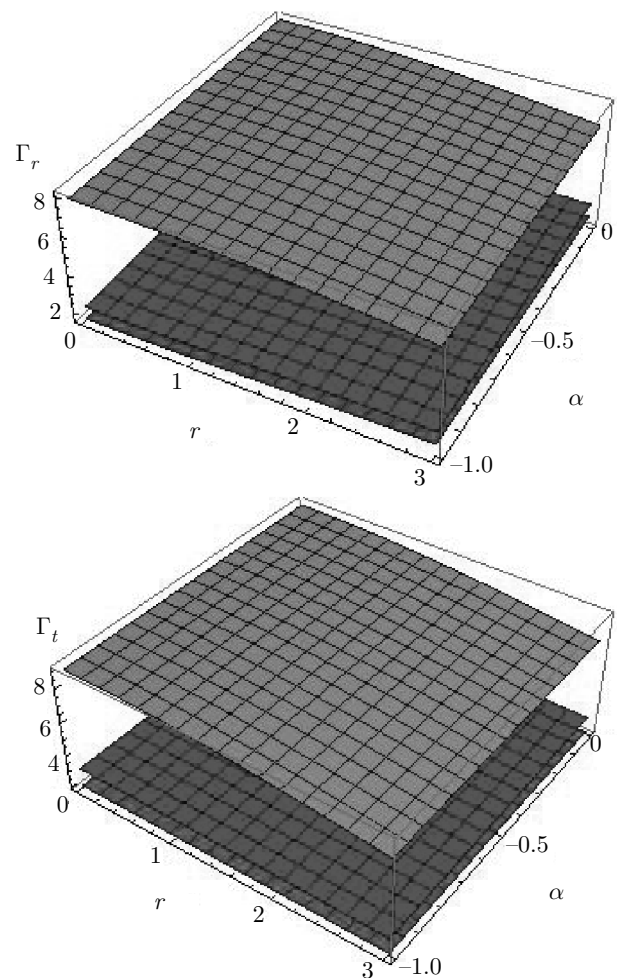
**Рис. 7.** Зависимости  $|\nu_{st}^2 - \nu_{sr}^2|$  от радиуса  $r$  и параметра  $\alpha$  для модельных звезд Her X-1 (оранжевый), SAX J 1808.4-3658 (красный) и 4U 1820-30 (синий)

Физическая реалистичность рассматриваемой модели исследовалась с помощью физических параметров (плотность энергии и давление), которые достигают максимальных значений в центре компактной звезды и монотонно убывают в направлении к ее поверхности. Таким образом, наша модель допускает крайне высокие плотности в центре очень компактных объектов, например для звезды Her X-1, плотность в центре которой оценивается приблизительно как  $33.4 \cdot 10^{15}$  г · см<sup>-3</sup>. Полученное решение оказалось физически реалистичным, если полученная модель удовлетворяет энергетическим условиям. Кроме того, выяснилось, что параметр компактности и параметр красного смещения также удовлетворяют требуемым условиям, что подтверждает устойчивость предложенной модели для всех трех рассматриваемых звездных объектов.

Было исследовано поведение трех основных сил — гравитационной силы  $F_g$ , силы гидростатического равновесия  $F_{he}$  и силы анизотропии  $F_\Delta$ , входящих в уравнение ТОВ. Оказалось, что анизотропная система находится в состоянии равновесия, когда гравитационная сила уравновешивается двумя другими силами. Мы рассмотрели устойчивость модели, используя условие причинности. Устойчивость достигается при выполнении неравенства

$$0 < |\nu_{st}^2 - \nu_{sr}^2| < 1.$$

Кроме того, мы рассмотрели динамическую устойчивость, используя адиабатический показатель.



**Рис. 8.** Зависимости  $\Gamma_r$  и  $\Gamma_t$  от радиуса  $r$  и параметра  $\alpha$  для модельных звезд Her X-1 (оранжевый), SAX J 1808.4-3658 (красный) и 4U 1820-30 (синий)

Компактная звездная структура является полностью устойчивой, если отношение радиального показателя к тангенциальному больше необходимого предельного значения  $4/3$ . Таким образом, рассматриваемое компактное анизотропное решение с вложением класса 1 является физически реалистичным, самосогласованным, а также устойчивым.

Соответствующее анизотропное решение Адле-ра – Финча – Ски с зарядами для связанных полевых уравнений Эйнштейна – Максвелла исследовалось в работе [16] с использованием условия Кармаркара. Оказалось, что полученное решение удовлетворяет всем критериям и является физически реалистичным для компактных звездных объектов, поскольку определяет физически реалистичную, устойчивую компактную сферу.

Интересно отметить, что рассматриваемая в настоящей работе модель анизотропной компактной звезды согласуется с моделью, полученной в рамках общей теории относительности [16]. Кроме того, было обнаружено, что полученное решение имеет несингулярные свойства, например, для звезды Her X-1, плотность в центре которой и радиальное давление оцениваются приблизительно как  $33.4 \cdot 10^{15}$  г·см<sup>-3</sup> и  $36.4 \cdot 10^{36}$  дин/см<sup>2</sup>, соответственно. Эти значения много больше величин, полученных в работе [16] в результате аппроксимации. В нашем случае значения релятивистского адиабатического показателя в центре странной звезды Her X-1 равны  $\Gamma_r = 8.02$  и  $\Gamma_t = 9.3$ , причем в направлении от центра к поверхности они монотонно убывают. Такие большие значения в центре звезды, отличающиеся от результатов работы [16], связаны с точным учетом членов, соответствующих вкладам темных источников посредством  $f(\mathcal{G})$ -гравитации. Более того, в случае динамической устойчивости силы имеют более узкий интервал сходимости, чем в общей теории относительности. Поэтому следует отметить, что равновесие в рамках предложенной модели достигается намного быстрее, что обусловлено некоторыми поправочными членами, которые учитываются посредством  $f(\mathcal{G})$ -гравитации. Кроме того, оказалось, что полученное анизотропное решение Адлера–Финча–Ски соответствует более плотной звездной структуре, чем в общей теории относительности.

## ПРИЛОЖЕНИЕ

Поправки ГБ для метрических потенциалов Адлера–Финча–Ски и полученная функция общего положения имеют вид

$$\begin{aligned} \kappa T_0^{0(\mathcal{G})} = & \frac{49152\alpha\mathcal{A}\mathcal{F}\mathcal{C}^6}{(Cr^2+1)^4(16\mathcal{A}\mathcal{C}^2\mathcal{F}r^2+1)^7} \times \\ & \times \left[ 4096\mathcal{A}^3\mathcal{F}^3\mathcal{C}^3r^2(10\mathcal{C}^3r^6+25\mathcal{C}^2r^4+21\mathcal{C}r^2+6) - \right. \\ & - 32\mathcal{A}^2\mathcal{F}^2(51\mathcal{C}^3r^6+56\mathcal{C}^2r^4+39\mathcal{C}r^2+18) - \\ & \left. - 2\mathcal{A}\mathcal{F}(113\mathcal{C}^2r^4+82\mathcal{C}r^2+18)-3r^2 \right], \end{aligned}$$

$$\begin{aligned} \kappa T_1^{1(\mathcal{G})} = & \frac{24576\alpha\mathcal{C}^5\mathcal{F}}{(Cr^2+1)^6(16\mathcal{A}\mathcal{C}^2\mathcal{F}r^2+1)^8} \times \\ & \times \left[ 65536\mathcal{A}^5\mathcal{F}^4\mathcal{C}^7r^6(4\mathcal{C}^4r^8+15\mathcal{C}^3r^6+ \right. \\ & + 21\mathcal{C}^2r^4+13\mathcal{C}r^2+3)+1024\mathcal{A}^4\mathcal{F}^3\mathcal{C}^3r^2 \times \\ & \times (155\mathcal{C}^5r^{10}+696\mathcal{C}^4r^8+1254\mathcal{C}^3r^6+1136\mathcal{C}^2r^4+ \\ & +519\mathcal{C}r^2+96)-16384\mathcal{A}^3\mathcal{F}^3\mathcal{C}^5r^4(10\mathcal{C}^2r^4+ \\ & +15\mathcal{C}r^2+6)-128\mathcal{A}^3\mathcal{F}^2\mathcal{C}^2(65\mathcal{C}^5r^{10}+256\mathcal{C}^4r^8+ \\ & +388\mathcal{C}^3r^6+274\mathcal{C}^2r^4+83\mathcal{C}r^2+6)-256\mathcal{A}^2\mathcal{F}^2\mathcal{C}^3r^2 \times \\ & \times (56\mathcal{C}^2r^4+65\mathcal{C}r^2+21)+4\mathcal{A}^2\mathcal{F}\mathcal{C} \times \\ & \times (65\mathcal{C}^4r^8+204\mathcal{C}^3r^6+238\mathcal{C}^2r^4+128\mathcal{C}r^2+25)- \\ & \left. -16\mathcal{A}\mathcal{F}\mathcal{C}(19\mathcal{C}^2r^4+4\mathcal{C}r^2-3)-3\mathcal{C}r^2-\mathcal{A}+1 \right], \end{aligned}$$

$$\begin{aligned} \kappa T_2^{2(\mathcal{G})} = & \frac{24576\alpha\mathcal{A}\mathcal{C}^5\mathcal{F}}{(Cr^2+1)^4(16\mathcal{A}\mathcal{C}^2\mathcal{F}r^2+1)^7} \times \\ & \times \left[ 32765\mathcal{A}^4\mathcal{F}^4\mathcal{C}^6r^4(\mathcal{C}^3r^6+1)+98304\mathcal{A}^4\mathcal{F}^4\mathcal{C}^7r^6 \times \right. \\ & \times (Cr^2+1)+2048\mathcal{A}^3\mathcal{F}^3\mathcal{C}^4r^2(5\mathcal{C}^3r^6+16\mathcal{C}^2r^4+ \\ & +17\mathcal{C}r^2+6)-64\mathcal{A}^2\mathcal{F}^2\mathcal{C}^2(161\mathcal{C}^3r^6+230\mathcal{C}^2r^4+ \\ & \left. +65\mathcal{C}r^2-20)-4\mathcal{A}\mathcal{F}(39\mathcal{C}^2r^4+2\mathcal{C}r^2-5)+3\mathcal{C}r^2+7 \right]. \end{aligned}$$

## ЛИТЕРАТУРА

1. R. L. Bowers and E. P. T. Liang, *Astrophys. J.* **188**, 657 (1974).
2. K. Dev and M. Gleiser, *Gen. Relativ. Gravit.* **34**, 1793 (2002); *ibid.* **35**, 1435 (2003).
3. M. K. Mak and T. Harko, *Chin. J. Astron. Astrophys.* **2**, 248 (2002).
4. M. K. Mak and T. Harko, *Proc. R. Soc. Lond.* **459**, 393 (2003).
5. M. K. Mak and T. Harko, *Int. J. Mod. Phys. D* **13**, 149 (2004).
6. S. K. M. Hosseini et al., *Int. J. Mod. Phys. D* **21**, 1250088 (2012).
7. H. Stephani et al., *Exact Solution to Einstein's Field*, Cambridge University Press (2003).
8. P. Bhar et al., *Eur. Phys. J. A* **52**, 312 (2016).
9. S. K. Maurya et al., *Eur. Phys. J. C* **76**, 266 (2016).
10. S. K. Maurya et al., *Eur. Phys. J. A* **52**, 191 (2016).
11. S. K. Maurya, *Eur. Phys. J. C* **76**, 693 (2016).

12. K. N. Singh, P. Bhar, and N. Pant, *Astrophys. Space Sci.* **361**, 339 (2016).
13. K. N. Singh and N. Pant, *Eur. Phys. J. C* **76**, 524 (2016).
14. K. N. Singh, M. H. Murad, and N. Pant, *Eur. Phys. J. A* **53**, 21 (2017).
15. S. K. Maurya et al., *Eur. Phys. J. C* **77**, 45 (2017).
16. P. Bhar et al., *Int. J. Mod. Phys. D* **26**, 1750078 (2017).
17. S. Nojiri and S. D. Odintsov, *Phys. Lett. B* **631**, 1 (2005).
18. G. Calcagni, S. Tsujikawa, and M. Sami, *Class. Quantum Grav.* **22**, 3977 (2005); A. De Felice, M. Hindmarsh, and M. Trodden, *J. Cosmol. Astropart. Phys.* **08**, 005 (2006).
19. K. Bamba et al., *Eur. Phys. J. C* **67**, 295 (2010).
20. S. Nojiri and S. D. Odintsov, *Int. J. Geom. Meth. Mod. Phys.* **04**, 115 (2007).
21. S. Nojiri and S. D. Odintsov, *Phys. Rep.* **505**, 59 (2011).
22. G. Abbas et al., *Astrophys. Space Sci.* **357**, 158 (2015).
23. M. Sharif and I. Fatima, *Int. J. Mod. Phys. D* **25**, 1650083 (2016).
24. M. Zubair, G. Abbas, and I. Noureen, *Astrophys. Space Sci.* **361**, 8 (2016).
25. M. Sharif and S. Saba, *Eur. Phys. J. C* **78**, 921 (2018).
26. D. Deb et al., arXiv:1811.11797.
27. K. R. Karmarkar, in: *Proc. Indian Acad. Sci. A* **27**, 56 (1948); S. N. Pandey and S. P. Sharma, *Gen. Relativ. Gravit.* **14**, 113 (1982).
28. R. J. Adler, *J. Math. Phys.* **15**, 727 (1974).
29. M. R. Finch and J. E. F. Skea, *Class. Quantum Grav.* **6**, 467 (1989).
30. A. V. Astashenok, S. Capozziello, and S. D. Odintsov, *J. Cosmo. Astro Phys.* **2015**, 1475 (2015).
31. H. Abreu et al., *Class. Quantum Grav.* **24**, 4631 (2007).
32. L. Herrera, *Phys. Lett. A* **165**, 206 (1992).
33. R. Chan et al., *Mon. Not. Roy. Astron. Soc.* **265**, 533 (1993).